

浮流砂の堆積過程

早稲田大学理工学部 正員 鮎川 登
早稲田大学大学院 学生員 下村博史

1.はじめに 河口部や貯水池に流入した浮流砂は、流速の減少と共に沈降し始め河床に堆積する。ここでは本理量と浮流砂の堆積過程との定性的な傾向を知るために、2次元導流状態の流れに上流から浮流砂が供給された場合について、濃度分布、基礎方程式を数値的に解き、浮流砂量、流下方向の変化を求めて、浮流砂の堆積過程について考察した結果について述べる。

2.基礎方程式と境界条件 2次元定常流における浮流砂の濃度分布に関する基礎方程式は(1)式とおそれらる。

$$u \frac{\partial C}{\partial x} - \frac{\partial}{\partial z} \left(E_z \frac{\partial C}{\partial z} \right) - W_0 \frac{\partial C}{\partial z} = 0 \quad (1)$$

(1)式を無次元変数、 $X = x/h$, $Z = z/h$, $C = c/c_{\infty}$, $W_0 = w_0/u_*$, $U = u/u_*$, $E_z = E_z/u_*h$ に関する方程式に書き直すと(2)式のようになる。

$$U \frac{\partial C}{\partial X} - \frac{\partial}{\partial Z} \left(E_z \frac{\partial C}{\partial Z} \right) - W_0 \frac{\partial C}{\partial Z} = 0 \quad (2)$$

境界条件は次のようにな定める。すなまち

$$\text{水面 } [E_z \frac{\partial C}{\partial Z} + W_0 C]_{Z=1} = 0, \text{ 河床 } \left[\frac{\partial C}{\partial Z} \right]_{Z=0} = 0, \text{ 上流端 } C(0, Z) = C_0(Z) \quad (3)$$

である。ここで、 x 及び z はそれぞれ流下方向、鉛直上向きの距離である、 C は浮流砂濃度、 u は流速、 E_z は浮流砂の拡散係数、 w_0 は流木中ににおける砂粒子の沈降速度、 h は木深、 U は摩擦速度、 c_{∞} は上流端における浮流砂の底面濃度である。流速は対数則に従い、砂粒子の拡散係数は渦動粘性係数に等しいものとし、それらを次式で与える。

$$\text{流速分布 滑面 } U = \frac{1}{K} \ln \left(\frac{u_* h}{v Z} \right) \quad (4)$$

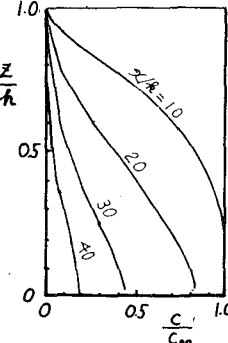
$$\text{粗面 } U = \frac{1}{K} \ln \left(30 \frac{h}{k_s Z} \right) \quad (5)$$

$$\text{浮流砂の拡散係数 } E_z = K \nu (1 - Z) \quad (6)$$

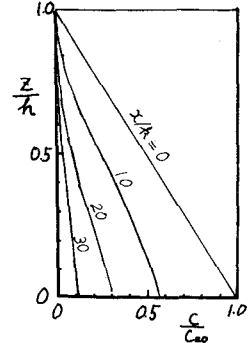
ここで、 K はカルマン定数、 ν は動粘性係数、 k_s は水路床の粗さである。

3.浮流砂濃度分布と浮流砂量の流下方向の変化

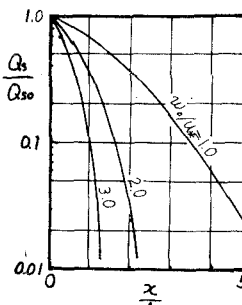
(2)式をCrank-Nicholsonの差分スキームにより差分化し、浮流砂濃度分布の流下方向の変化を求めた。上流端における浮流砂濃度分布として、一様分布と三角形分布を想定し、 $u_* h / v = 10^5$ 、or $k_s / k_s = 3.33 \times 10^4$ 、 $w_0 / u_* = 1.0$ の場合について計算を行った結果を図-1、Z=1に示す。図-1, Z=1によると、流下するとつれて浮流砂濃度および浮流砂量が、減少していく様子がわかる。



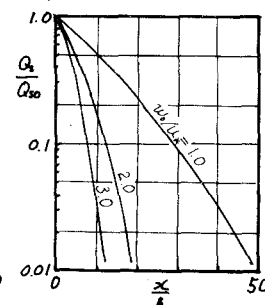
(a) 一様分布



(b) 三角形分布

図1. 濃度分布、流下方向の変化 ($u_* h / v = 10^5$: $k_s / k_s = 3.33 \times 10^4$)

(a) 一様分布



(b) 三角形分布

図2. 浮流砂量の流下方向の変化 ($u_* h / v = 10^5$: $k_s / k_s = 3.33 \times 10^4$)

4 流砂の堆積に要する距離 滝流砂量の流下方向の変化を表す図-2より、滝流砂量が流入時の10%に減少する（全体の90%が堆積する）のに要する距離 x_s を算出し、 x_s/h と w_0/U_* の関係を U_*^k/h をパラメータとして図-3に示す。図-3によると、上流端における滝流砂が一様分布をして流入する場合と、三角形分布をして流入していく場合とは、 x_s/h と w_0/U_* の関係は同様の傾向を示し、それそれぞれ次式で表示される。

$$\frac{x_s}{h} = a \left(\frac{w_0}{U_*} \right)^{-b} \quad (7)$$

ここで、 a 、 b は係数である。堆積量が全体の50%、80%、95%、99%の場合も同じ傾向を示す。

図-3から a 、 b を求め、 U_*^k/h 、 θ_s/Q_{so} などのパラメータとの関係を図-4～6に示す。図中の数字は全流入滝流砂量に対する堆積量の割合を表す。ここで、 Q_s は滝流砂量、 Q_{so} は上流端における滝流砂量である。

図-4より a は U_*^k/h （or h/k_s ）、 θ_s/Q_{so} の関数となり、次のように表示される。

$$a = m \left(\frac{U_*^k h}{V} \right)^n \quad (8)$$

$$\text{または } a = m' \left(\frac{h}{k_s} \right)^n \quad (9)$$

ここで、 m は図-5に示すよう θ_s/Q_{so} の関数となる。 n は図-4の直線の勾配から求められ、一様分布の場合、三角形分布の場合とも、 $n = 0.084$ である。また m' は、 $m' = m \times (10/3)^n$ で与えられる。

まとめ 実際の河川における滝流砂の堆積現象は、多くのパラメータに影響されると考えられるが本報告のシミュレーションでは、問題を簡単にするために、2次元等流状態の堆積過程にある現象を考えた。この場合には、滝流砂の至達距離は次式で表示されることが示された。

$$\frac{x_s}{h} = m \left(\frac{U_*^k h}{V} \right)^n \left(\frac{w_0}{U_*} \right)^{-b} \quad (10)$$

$$= m \left(\frac{10}{3} \right)^n \left(\frac{h}{k_s} \right)^n \left(\frac{w_0}{U_*} \right)^{-b} \quad (11)$$

ここで、 $n = 0.084$ であり、 m 、 b は図-5、6により決定されることがわかる。

本研究は早稲田大学特定課題研究助成費を受け行なわれたことを付記し、謝意を表します。

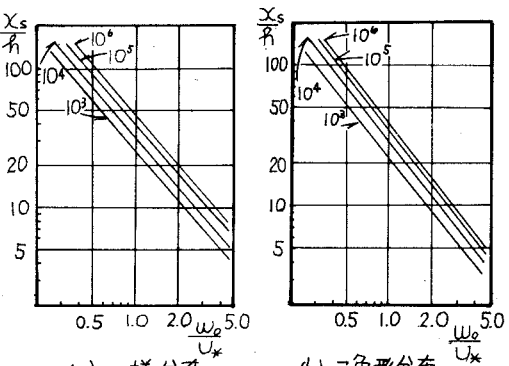
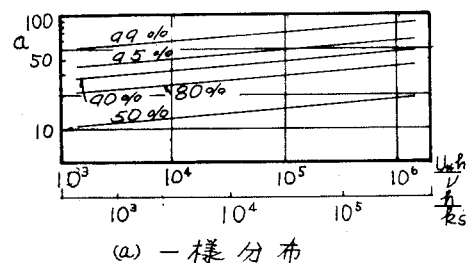
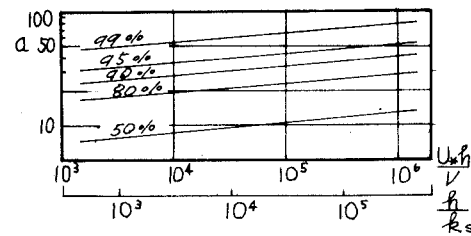


図3 x_s/h と w_0/U_* の関係



(a) 一様分布



(b) 三角形分布

図4 a と U_*^k/h , h/k_s の関係

